

東海大学

工学部

宇都一馬

同 上

冬木 衛

神奈川県横須賀土木事務所 ○小山 滋

### 1. まえがき

近年、各地で地下埋設管の施工が従来になく盛んに行なわれている。これらの施工法には、地盤構成、施工場所の環境によって、土留め矢板工法や推進工法、その他の工法がありながらも、土留め矢板工法は、埋設管布設に当って地方公共関係では、主要な工法になっている。本施工法を軟弱地盤に適用すると、矢板根入れ部が従来の計算方法によると、一般に大きくなる。このような根入れ長さの大きい矢板を工事完了後に引きぬくと、埋設管本体の不等沈下や、地表面沈下などが大きくなり、種々の障害をきたす場合がある。このような面から矢板根入れ長さを極力短くすることが要求される。そこで筆者等は、図-1に示す根入れ長が、 $l_0 \geq B$ なる条件の場合に受動破壊面を仮定し、この矢板根入れ部の抵抗土圧の算定式を求めこれを用いて、掘削中、掘削深さなどの条件を変えた場合の根入れ長に関する計算を行なったので報告する。

### 2. 抵抗土圧の算定式(その1)

矢板根入れ部の破壊面と作用力を図-2に示し、つぎの仮定をもつて、抵抗土圧の算定式を求める。

①根入れ部の破壊面を図-2に示すbC面とする。②力は作用力の釣合により根入れ部抵抗土圧 $P_R$ と三角形abc部分の土の重量 $W$ と、破壊面bCの反力 $R$ が釣合っているものとする。③RはbC面の垂直成分 $N$ と接線成分 $T$ の二つの力に分けて考える。④矢板と土の摩擦力は安全側を考慮する。破壊面bCでは、モール・クーロンの破壊規準が適用できるので、 $T = N \tan \phi + C L$  (1)となる。ここに中は土のせん断抵抗角、Cは土の粘着力、Lは破壊面の長さ( $L = B\sqrt{\mu+1}$ )、また作用力の釣合から、 $\sum T - B_C N + W = 0$  (2)  $B_C T + R - P_R = 0$  (3)となる。土の単位体積重量を $\gamma$ として、(1)(2)(3)式を連立に解けば $P_R$ は次式となる。

$$P_R = \frac{1}{1-\alpha \tan \phi} [CB(\alpha^2 + 1) + \frac{1}{2}B^2 \alpha (\alpha + \tan \phi)] \quad (4)$$

### 3. 抵抗土圧の算定式(その2)

矢板根入れ部の破壊面と作用力を図-3に示し、つぎの仮定をもつて、抵抗土圧の算定式を求める。

①根入れ部の破壊面を、bdC面とする。なおbd面は矢板先端から45°に傾斜した破壊面とする。②抵抗土圧 $P_R$ は扇形 $P_{R2}$ にわたりて働く。③力は作用力の釣合により $P_R$ 、 $W_1$ 、 $R_1$ が釣合、 $P_{R2}$ 、 $W_2$ 、 $R_2$ が釣合うものとする。④bd面とcd面に作用する $R_1$ 、 $R_2$ は垂直成分と接線成分の二つにそれぞれ、 $N_1$ 、 $T_1$ と $N_2$ 、 $T_2$ に分けて働く。⑤矢板と土の摩擦力は無視する。ここで、 $W_1 = \frac{1}{2}B^2(\alpha - \frac{1}{4})$ 、 $W_2 = \frac{1}{4}B^2(\alpha - \frac{1}{2})$ である。

#### 1) bf部分の抵抗土圧

破壊面bdでは、モール・クーロンの破壊規準より  $T_1 = N_1 \tan \phi + C L_1$  (5)

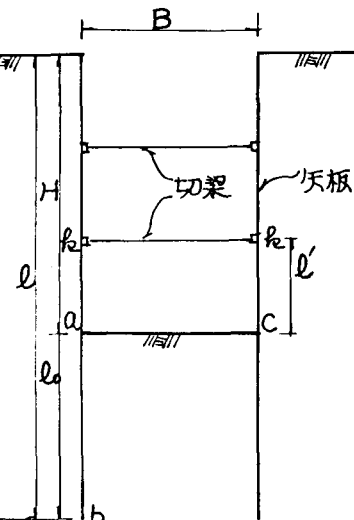


図-1

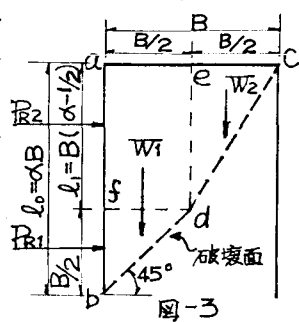
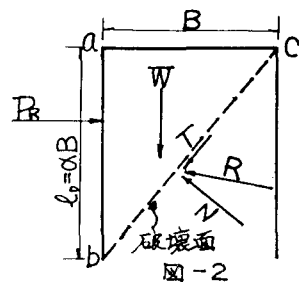


図-3

$L_1$ は破壊面の長さ ( $L_1 = \sqrt{B^2 + B}$ ) となり、作用力の釣合より  $\frac{1}{\sqrt{2}} \cdot T_1 - \frac{1}{\sqrt{2}} \cdot N_1 + W_1 = 0$  (6)  
 $\frac{1}{\sqrt{2}} \cdot T_1 + \frac{1}{\sqrt{2}} \cdot N_1 - P_{R1} = 0$  (7) となる。 $(5), (6), (7)$  を連立して解けば、次式となる。

$$P_{R1} = \frac{1}{1 - \tan \phi} \left[ C B + \frac{r B^2}{2} \left( \alpha - \frac{1}{4} \right) (1 + \tan \phi) \right] \quad (8)$$

## 2) $a$ 部分の抵抗土圧 $P_{R2}$

破壊面  $Cd$  では、モールクーロンの破壊標準より  $T_2 = N_2 \tan \phi + C L_2$  (9) ここで、 $L_2$  は破壊面の長さ ( $L_2 = B/\sqrt{\alpha^2 - \alpha + 1/2}$ ) また、作用力の釣合から、 $\ell_1/L_2 \cdot T_2 - B/2L_2 \cdot N_2 + W_2 = 0$  (10)  
 $B/2L_2 \cdot T_2 + \ell_1/L_2 \cdot N_2 - P_{R2} = 0$  (11) となる。 $(9), (10), (11)$  式を連立して解けば、次式となる。

$$P_{R2} = \frac{1}{2(1-(2\alpha-1)\tan\phi)} \left[ C B \{(2\alpha-1)^2 + 1\} + \frac{r B^2}{4} (2\alpha-1) \{(2\alpha-1) + \tan\phi\} \right] \quad (12)$$

## 3) 全抵抗土圧 $P_R$

$P_R$  は (8) 式 (12) 式から  $P_R = P_{R1} + P_{R2}$  (13) で求められる。

## 4. 抵抗土圧 $P_R$ , $a$ 点, $b$ 点の土圧強度 $P_{R1}, P_{R2}$ , 作用点 $dr$ , および抵抗モーメント $M_R$ .

抵抗土圧  $P_R$  は、図-4 に示すよう矢根限入れ部  $ab$  に台形分布

すると仮定すれば、 $P_{R1}, P_{R2}, dr, M_R$  は、つきのようになる。

$$P_{R1} = 2C \tan(45^\circ + \phi/2) \quad (14)$$

$$P_{R2} = 2 \{ P_{R1} \alpha B - C \tan(45^\circ + \phi/2) \} \quad (15)$$

$$dr = \alpha B \{ 2 - \alpha B \frac{P_R}{P_{R1}} \cdot \tan(45^\circ + \phi/2) \} + l' \quad (16)$$

$$M_R = P_R \times dr \quad (17)$$

## 5. 作用土圧 $P_d$ , $a$ 点, $b$ 点の土圧強度 $P_{d1}, P_{d2}$ , および作用モーメント $M_d$ .

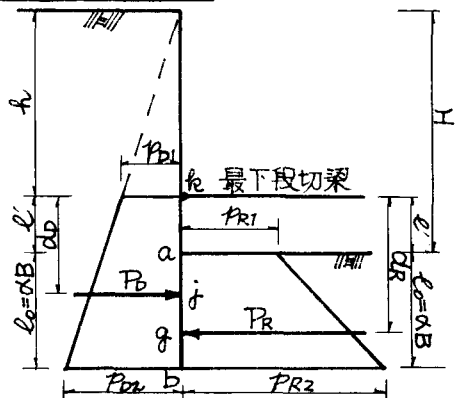
$P_{d1}, P_{d2}, P_d, dr, M_d$  は、図-4 を参照し、つきのようになる。

$$P_{d1} = r h \tan^2(45^\circ - \phi/2) - 2C \tan(45^\circ - \phi/2) \quad (18)$$

$$P_{d2} = P_{d1} + r(l + \alpha B) \tan^2(45^\circ - \phi/2) \quad (19)$$

$$P_d = \frac{1}{2} (l' + \alpha B)(P_{d1} + P_{d2}) \quad (20)$$

$$M_d = P_d \times dr \quad (22)$$



$$dr = \frac{l' + \alpha B}{3} \cdot \left( \frac{2 \frac{P_{d2}}{P_{d1}} + 1}{\frac{P_{d2}}{P_{d1}} + 1} \right) \quad (21)$$

## 6. 根入れ長さ計算結果のまとめ

根入れ長さは  $l_0 = \alpha B$  とされたので、図-5, 図-6, 図-7 にひき土の粘着力  $C$  の関係を、土のセンドウ角  $\phi$  中をパラメータにして示した。これらの図から根入れ長さ  $l_0$  を求めることができる。ただし、この図は、抵抗土圧の算定式(その1) (4)式を用いた場合である。(4)式は算定式(その2) (13)式より安全側の根入れ長さを与える。

これらの図から、センドウ抵抗角中が土留天板の根入れ長さを決める場合には大きく影響することがわかる。上、下、左、右の4つの目的の土質調査では、粘着力  $C$  に加えてセンドウ抵抗角中も精度よく知ることが大切であろう。

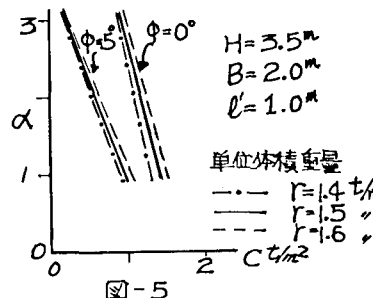


図-5

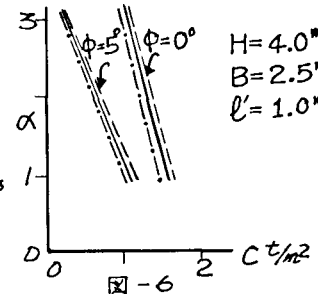


図-6

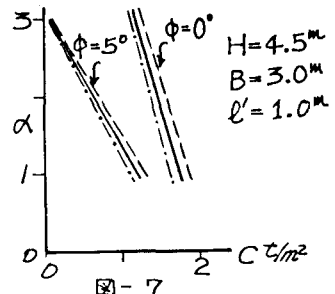


図-7